

Отчёт по заданию: Решение двумерного уравнения Пуассона методом фиктивных областей с использованием MPI+Cuda

Вариант: №9

Студент: Ма Синьюэ 617

Цель работы

Целью работы является исследование производительности параллельного алгоритма решения двумерного уравнения Пуассона в области сложной формы методом фиктивных областей с использованием предобусловленного метода сопряжённых градиентов. Необходимо реализовать и сравнить несколько вариантов параллельной реализации (MPI, OpenMP, MPI+CUDA), оценить их ускорение и эффективность относительно последовательной версии, а также проанализировать вклад различных составляющих времени исполнения (инициализация, вычисления на CPU/GPU, обмены данными, завершение программы).

Постановка задачи

Рассматривается уравнение Пуассона

$$-\Delta u(x, y) = f(x, y)$$

в области

$$D = \{(x, y) : x^2 + 4y^2 < 1\},$$

вложенной в прямоугольник

$$\Omega = [A_1, B_1] \times [A_2, B_2],$$

с граничным условием Дирихле

$$u(x, y) = 0 \quad \text{на } \partial D.$$

В работе используется аналитическое решение вида

$$u(x, y) = \frac{1}{10}(1 - x^2 - 4y^2),$$

что позволяет контролировать точность численного решения.

Для аппроксимации задачи используется метод фиктивных областей: исходная область D расширяется до прямоугольника Ω , а коэффициент $k(x, y)$ в операторе

$$-\nabla \cdot (k(x, y) \nabla u(x, y)) = f(x, y)$$

принимает значение $k = 1$ внутри эллипса и $k = \varepsilon \ll 1$ вне эллипса. На прямоугольнике Ω строится равномерная сетка размера $M \times N$ с шагами h_1, h_2 и выписывается разностная схема, приводящая к большой разреженной СЛАУ.

Для решения разностной задачи используется предобусловленный метод сопряжённых градиентов (PCG) с диагональным предобуславливателем. Требуется:

- реализовать алгоритм в последовательном варианте (без MPI/OpenMP/GPU) и получить базовое время T_{seq} ;
- реализовать параллельный вариант на MPI (разбиение области по процессам), а также вариант с OpenMP (распараллеливание по нитям) и измерить времена $T_{\text{MPI}}(p)$ и $T_{\text{OMP}}(t)$;
- реализовать гибридный вариант MPI+CUDA, в котором операции применения матрицы, предобуславливателя и скалярные произведения выполняются на GPU, а обмен граничными слоями осуществляется через MPI;
- для каждой версии вычислить ускорение и эффективность по отношению к последовательной программе:

$$S(p) = \frac{T_{\text{seq}}}{T(p)}, \quad E(p) = \frac{S(p)}{p},$$

где p — число процессов (для MPI) или нитей (для OpenMP);

- для MPI+CUDA дополнительно проанализировать вклады во время выполнения: суммарное время работы GPU-ядер, время копирования данных между CPU и GPU, время коммуникаций MPI, время работы предобуславливателя на CPU, время вычисления скалярных произведений;
- сравнить полученные численные решения с аналитическим решением, оценив погрешность, и объяснить характер полученных значений ускорения и эффективности.

Метод и реализация

Область, сетка и правая часть

Рассматривается эллиптическая область

$$D = \{(x, y) : x^2 + 4y^2 < 1\},$$

вложенная в прямоугольный контейнер

$$A_1 = -1, \quad B_1 = 1, \quad A_2 = -0.6, \quad B_2 = 0.6.$$

Сетка равномерная:

$$x_i = A_1 + i h_x, \quad i = 0, \dots, M; \quad y_j = A_2 + j h_y, \quad j = 0, \dots, N,$$

где $h_x = \frac{B_1 - A_1}{M}$, $h_y = \frac{B_2 - A_2}{N}$. Правая часть строится как индикатор области:

$$B_{ij} = \begin{cases} F_{\text{VAL}} = 1, & (x_i, y_j) \in D, \\ 0, & (x_i, y_j) \notin D. \end{cases}$$

Метод фиктивных областей и выбор ε

Коэффициент теплопроводности задаётся по правилу

$$k(x, y) = \begin{cases} 1, & (x, y) \in D, \\ \frac{1}{\varepsilon}, & (x, y) \notin D, \end{cases} \quad \boxed{\varepsilon = (\max\{h_x, h_y\})^2}.$$

(Именно такая формула ε используется в коде: `eps = max(h1, h2)*max(h1, h2);`).

Коэффициенты схемы a_{ij} , b_{ij}

Для ячейки (i, j) вычисляются доли пересечения её граней с областью D . Длины пересечения отрезков с эллипсом:

$$x = \text{const} = x_0 : \quad y \in \left[-\sqrt{\frac{1-x_0^2}{4}}, \sqrt{\frac{1-x_0^2}{4}} \right], \quad y = \text{const} = y_0 : \quad x \in \left[-\sqrt{1-4y_0^2}, \sqrt{1-4y_0^2} \right].$$

Пусть $\ell_{ij}^{(v)}$ — часть вертикального ребра длиной h_y , лежащая в D , а $\ell_{ij}^{(h)}$ — часть горизонтального ребра длиной h_x , лежащая в D . Тогда (ровно как в функции `fictitious_regions_setup`):

$$a_{ij} = \begin{cases} 1, & \ell_{ij}^{(v)} = h_y, \\ \frac{1}{\varepsilon}, & \ell_{ij}^{(v)} = 0, \\ \frac{\ell_{ij}^{(v)}}{h_y} + \frac{1 - \frac{\ell_{ij}^{(v)}}{h_y}}{\varepsilon}, & \text{иначе,} \end{cases} \quad b_{ij} = \begin{cases} 1, & \ell_{ij}^{(h)} = h_x, \\ \frac{1}{\varepsilon}, & \ell_{ij}^{(h)} = 0, \\ \frac{\ell_{ij}^{(h)}}{h_x} + \frac{1 - \frac{\ell_{ij}^{(h)}}{h_x}}{\varepsilon}, & \text{иначе.} \end{cases}$$

Действие оператора A

Разностный оператор для внутренних узлов ($i = 1..M - 1, j = 1..N - 1$) реализован как

$$(Aw)_{ij} = -\frac{1}{h_x} \left(a_{i+1,j} \frac{w_{i+1,j} - w_{i,j}}{h_x} - a_{i,j} \frac{w_{i,j} - w_{i-1,j}}{h_x} \right) - \frac{1}{h_y} \left(b_{i,j+1} \frac{w_{i,j+1} - w_{i,j}}{h_y} - b_{i,j} \frac{w_{i,j} - w_{i,j-1}}{h_y} \right).$$

(См. функцию `apply_A`).

Диагональный предобусловливатель D^{-1}

Используется диагональное предобусловливание (см. `apply_Dinv`):

$$D_{ij} = \frac{a_{i+1,j} + a_{i,j}}{h_x^2} + \frac{b_{i,j+1} + b_{i,j}}{h_y^2}, \quad z_{ij} = (D^{-1}r)_{ij} = \frac{r_{ij}}{D_{ij}}.$$

Метод сопряжённых градиентов (PCG)

Итерационный процесс в `solve`:

$$\begin{aligned} r^{(0)} &= B, \quad z^{(0)} = D^{-1}r^{(0)}, \quad p^{(1)} = z^{(0)}, \quad \langle u, v \rangle = \sum_{i,j} u_{ij}v_{ij} h_x h_y; \\ \text{на шаге } k : \quad \alpha_k &= \frac{\langle z^{(k-1)}, r^{(k-1)} \rangle}{\langle Ap^{(k)}, p^{(k)} \rangle}, \quad w^{(k)} = w^{(k-1)} + \alpha_k p^{(k)}, \\ r^{(k)} &= r^{(k-1)} - \alpha_k A p^{(k)}, \quad z^{(k)} = D^{-1}r^{(k)}, \quad \beta_{k+1} = \frac{\langle z^{(k)}, r^{(k)} \rangle}{\langle z^{(k-1)}, r^{(k-1)} \rangle}, \\ p^{(k+1)} &= z^{(k)} + \beta_{k+1} p^{(k)}. \end{aligned}$$

$$\|w^{(k+1)} - w^{(k)}\|_E < \delta,$$

где $\|\cdot\|_E$ — евклидова норма, а δ задаётся пользователем (в тестах $\delta = 10^{-6}$).

Параллельная реализация OpenMP

Параллелизация выполняется с помощью директив:

```
#pragma omp parallel for collapse(2)
```

Они применяются в циклах:

- вычисление коэффициентов a_{ij}, b_{ij}, F_{ij} ;
- операция Aw ;
- обновление векторов r, z, p, w .

Время измеряется с помощью `omp_get_wtime()`.

Параллельная реализация MPI

Для распараллеливания разностной схемы используется библиотека MPI. Разбиение прямоугольника по условию задания (пункт 4) осуществляется по переменной x на несколько подобластей, каждая из которых обрабатывается отдельным MPI-процессом.

Двумерное разбиение области

Пусть всего P процессов и $(M - 1) \times (N - 1)$ внутренних узлов по координатам x и y . В программе сначала выбирается двумерная решётка процессов $P_x \times P_y$ (функция `choose_process_grid(P, Px, Py)`), где $P_x P_y = P$ и решётка по возможности близка к квадратной.

Затем функция `decompose_2d(M, N, Px, Py, rank, i_start, i_end, j_start, j_end)` делит множество внутренних индексов

$$i = 1, \dots, M - 1, \quad j = 1, \dots, N - 1$$

между процессами так, что каждому процессу с координатами (p_x, p_y) в решётке соответствует прямоугольный блок

$$i_{\min}^{(p)} \leq i \leq i_{\max}^{(p)}, \quad j_{\min}^{(p)} \leq j \leq j_{\max}^{(p)},$$

где

$$n_x^{(p)} = i_{\max}^{(p)} - i_{\min}^{(p)} + 1, \quad n_y^{(p)} = j_{\max}^{(p)} - j_{\min}^{(p)} + 1$$

— число внутренних узлов по x и y на данном процессе. Размеры блоков по каждому направлению отличаются не более чем на единицу:

$$|n_x^{(p)} - n_x^{(q)}| \leq 1, \quad |n_y^{(p)} - n_y^{(q)}| \leq 1$$

для любых процессов p, q . Тем самым выполняется требование задания о двумерном разбиении прямоугольника: каждый MPI-процесс отвечает за собственный подпрямоугольник сетки.

Для удобства используется локальная нумерация

$$l_i = i - i_{\min}^{(p)} + 1, \quad l_j = j - j_{\min}^{(p)} + 1,$$

где $l_i = 1, \dots, n_x^{(p)}$, $l_j = 1, \dots, n_y^{(p)}$. Дополнительно по каждому направлению вводятся *призрачные* (halo) слои с индексами $l_i = 0$, $l_i = n_x^{(p)} + 1$ и $l_j = 0$, $l_j = n_y^{(p)} + 1$, в которых хранятся значения граничных узлов, полученные от соседних процессов при обмене данными.

Локальные операции и обмен граничной информацией

Коэффициенты a_{ij}, b_{ij} и правая часть B_{ij} вычисляются локально в процедуре `fictitious_regions_se` только для принадлежащих процессу индексов $i = i_{\min}^{(p)}, \dots, i_{\max}^{(p)}$ (плюс один слой по x для корректного вычисления потоков через границы). Формулы полностью совпадают с последовательным случаем.

Действие оператора A над вектором w реализовано в функции `apply_A_local`: во внутренних узлах ($l_i = 1..n_p, j = 1..N - 1$) используется та же разностная формула, что и в последовательной версии, но все вычисления ведутся только по локальным индексам. Перед каждым вызовом `apply_A_local` выполняется обмен граничными слоями между соседними процессами (`exchange_halos()`), где используются пары вызовов `MPI_Sendrecv`. На крайних процессах граничные слои, соответствующие границе контейнера, задаются равными нулю, что соответствует граничным условиям Дирихле.

Диагональный предобусловливатель D^{-1} также строится локально (`apply_Dinv_local`): для каждого внутреннего узла процесс вычисляет

$$D_{ij} = \frac{a_{i+1,j} + a_{i,j}}{h_x^2} + \frac{b_{i,j+1} + b_{i,j}}{h_y^2}, \quad z_{ij} = \frac{r_{ij}}{D_{ij}},$$

используя только локальные данные и призрачные слои.

Параллельный метод сопряжённых градиентов

Векторные операции метода сопряжённых градиентов выполняются локально, а глобальные скалярные произведения вычисляются в два шага:

1. каждый процесс считает свою локальную сумму $\sum_{l_i,j} u_{ij}v_{ij} h_x h_y$ (функция `dot_local`);
2. все локальные суммы суммируются при помощи `MPI_Allreduce` с операцией `MPI_SUM`, формируя глобальное скалярное произведение.

Аналогично собирается глобальная норма $\|w^{(k+1)} - w^{(k)}\|_E$, которая используется в критерии остановки:

$$\|w^{(k+1)} - w^{(k)}\|_E < \delta, \quad \delta = 10^{-6}.$$

После каждого шага все процессы получают одинаковое значение нормы, поэтому решение синхронно прекращает итерации.

Вся логика метода PCG вынесена в функцию `gradient_solver_mpi`, в которой используются описанные выше локальные операции и глобальные коллективные вызовы MPI.

Гибридная реализация MPI+OpenMP

Гибридный вариант объединяет распределение данных по MPI и внутрипроцессную распараллелизацию по OpenMP. Разбиение области по переменной x , локальная нумерация узлов, вычисление коэффициентов a_{ij}, b_{ij}, B_{ij} , обмен граничными слоями и все коллективные

операции (`MPI_Allreduce`, `MPI_Sendrecv`) полностью совпадают с чисто MPI-реализацией, описанной выше.

Внутри каждого MPI-процесса наиболее трудоёмкие циклы распараллеливаются директивами OpenMP вида

```
#pragma omp parallel for
```

а при накоплении локальных норм и скалярных произведений — с использованием редукции:

```
#pragma omp parallel for reduction(+:local_sum)
```

К таким циклам относятся:

- вычисление локальных коэффициентов a_{ij}, b_{ij}, B_{ij} в процедуре `fictitious_regions_setup_local`;
- применение оператора A к вектору w (`apply_A_local`);
- применение диагонального предобуславливателя (`apply_Dinv_local`);
- обновление векторов w, r, z, p и вычисление локального вклада в норму $\|w^{(k+1)} - w^{(k)}\|_E$ в основной итерации метода.

Число нитей OpenMP в каждом процессе задаётся переменной среды `OMP_NUM_THREADS` или опцией `affinity[core(N)]` в командном файле LSF. Временные характеристики гибридного варианта измеряются на процессе с рангом 0 с помощью функции `MPI_Wtime()`, что позволяет корректно сравнивать полученное ускорение с последовательной и чисто MPI-реализацией на сетках $(M, N) = (40, 40), (400, 600)$ и $(800, 1200)$.

Реализация MPI+CUDA

В варианте MPI+CUDA сохраняется то же двумерное разбиение прямоугольника по MPI, что и в предыдущей реализации: область по внутренним индексам $i = 1, \dots, M - 1, j = 1, \dots, N - 1$ делится на подпрямоугольники, каждый из которых обрабатывается отдельным MPI-процессом. Локальная нумерация узлов, введение призрачных слоёв и организация обмена граничной информации с соседями (`exchange_halos_2d`) полностью совпадают с чисто MPI-версией.

Коэффициенты a_{ij}, b_{ij} и правая часть B_{ij} вычисляются на CPU в процедуре `fictitious_regions_setup_local` для внутренних узлов данного процесса (с учётом одного дополнительного слоя по каждому направлению для корректного вычисления потоков). После этого двумерные массивы a и b однократно «сплющиваются» в одномерные массивы `h_a`, `h_b` размера $(n_x^{(p)} + 2) \times (n_y^{(p)} + 2)$ с шагом `pitch = n_y^{(p)} + 2` и копируются на GPU в массивы `d_a`, `d_b` с помощью `cudaMemcpy`.

Основные вычислительно затратные операции метода сопряжённых градиентов переносятся на GPU:

- применение оператора A к вектору p : ядро `apply_A_kernel` вычисляет значение $(Ap)_{ij}$ во всех внутренних узлах данного процесса по той же разностной формуле, что и в последовательном случае. Массив `d_p` хранит локальные значения направления p (включая призрачные слои), результат записывается в `d_Ap`;
- применение диагонального предобуславливателя D^{-1} : ядро `apply_Dinv_kernel` для каждого внутреннего узла вычисляет

$$D_{ij} = \frac{a_{i+1,j} + a_{i,j}}{h_x^2} + \frac{b_{i,j+1} + b_{i,j}}{h_y^2}, \quad z_{ij} = \frac{r_{ij}}{D_{ij}},$$

используя локальные данные `d_a`, `d_b` и остаток `d_r`;

- скалярные произведения вида (z, r) , (Ap, p) : для них используется специальное ядро `dot_kernel`, которое проходит по всем внутренним узлам данного процесса, накапливая сумму $\sum u_{ij}v_{ij}h_xh_y$ в массиве `d_partial` без использования разделяемой памяти и атомарных операций. Затем массив `d_partial` копируется на CPU (`h_partial`), и локальная сумма вычисляется уже на хосте.

На каждом шаге метода PCG выполняется следующий цикл:

1. На CPU обновляются призрачные слои вектора направления p при помощи `exchange_halos_2d`, после чего локальный двумерный массив p сплющивается в одномерный `h_p` и копируется на устройство в `d_p` (операции host→device учитываются отдельно во времени копирования).
2. Запускается ядро `apply_A_kernel`, вычисляющее `d_Ap`; после синхронизации (`cudaDeviceSynchronize`) массив `d_Ap` копируется обратно на CPU в `h_Ap`, откуда значения записываются в двумерный массив `Ap` для дальнейшего обновления w и r .
3. Скалярное произведение (Ap, p) вычисляется на GPU с помощью `dot_kernel`; полученная локальная сумма передаётся на CPU и далее используется в глобальном `MPI_Allreduce` для получения знаменателя.
4. Векторы w и r обновляются на CPU, одновременно накапливается локальный вклад в норму $\|w^{(k+1)} - w^{(k)}\|_E$. Эта норма затем собирается по всем процессам при помощи `MPI_Allreduce` и используется в критерии остановки $\|w^{(k+1)} - w^{(k)}\|_E < \delta$.
5. Остаток r переносится на устройство (`d_r`), запускается ядро `apply_Dinv_kernel`, рассчитывающее `d_z`, после чего результат копируется обратно в `h_z` и двумерный массив `z`. Скалярное произведение (z, r) вновь вычисляется на GPU через `dot_kernel` и собирается по всем процессам при помощи `MPI_Allreduce`, формируя величину $(z, r)^{(k)}$.
6. Направление p обновляется на CPU по стандартной формуле метода сопряжённых градиентов $p^{(k+1)} = z^{(k+1)} + \beta^{(k)}p^{(k)}$.

Измерение времени в MPI+CUDA-версии выполняется с помощью `MPI_Wtime()`. Для каждого процесса накапливаются отдельные счётчики: суммарное время работы GPU-ядер (операции Ap и $D^{-1}r$), время копирования данных `host↔device`, время обмена гравитационных слоёв по MPI, время CPU-части предобуславливателя (распаковка `z` в двумерный массив) и время вычисления скалярных произведений (ядро `dot_kernel` плюс перенос частичных сумм). В конце работы все эти величины собираются на процессе с рангом 0 при помощи `MPI_Reduce` с операцией `MPI_MAX` и выводятся в отчёт вместе с общим временем инициализации, временем работы решателя и временем завершения программы. Это позволяет подробно проанализировать, какая доля общего ускорения связана с использованием GPU, а какая ограничивается затратами на обмен данными и коммуникацию между процессами.

Результаты расчётов(первые три этапа)

1. Последовательная версия

| Размер сетки | Число итераций | Время решения |
|----------------|----------------|---------------|
| 10×10 | 17 | 0.0001 |
| 20×20 | 31 | 0.0005 |
| 40×40 | 60 | 0.0034 |

2. OpenMP

| Размер сетки | Число нитей | Число итераций | Время решения |
|----------------|-------------|----------------|---------------|
| 40×40 | 1 | 60 | 0.005 |
| 40×40 | 4 | 60 | 0.004 |
| 40×40 | 16 | 60 | 0.009 |

| Размер сетки ($M \times N$) | Число нитей | Число итераций | Время решения | Ускорение |
|-------------------------------|-------------|----------------|---------------|-----------|
| 400×600 | 2 | 546 | 3.098 | 1.59 |
| 400×600 | 4 | 546 | 1.776 | 2.78 |
| 400×600 | 8 | 546 | 1.170 | 4.21 |
| 400×600 | 16 | 546 | 0.977 | 5.05 |
| 800×1200 | 4 | 989 | 12.214 | 3.19 |
| 800×1200 | 8 | 989 | 7.554 | 5.15 |
| 800×1200 | 16 | 989 | 6.034 | 6.45 |
| 800×1200 | 32 | 989 | 6.216 | 6.27 |

3. MPI

| Размер сетки | Число процессов | Число итераций | Время с MPI | Время с Openmp |
|----------------|-----------------|----------------|-------------|----------------|
| 40×40 | 1 | 60 | 0.00328 | 0.005 |
| 40×40 | 2 | 60 | 0.00186 | 0.004 |
| 40×40 | 4 | 60 | 0.00189 | 0.004 |

| Размер сетки | Число процессов | Число итераций | Время решения | Ускорение |
|-------------------|-----------------|----------------|---------------|-----------|
| 400×600 | 2 | 546 | 2.646 | 1.86 |
| 400×600 | 4 | 546 | 1.432 | 3.44 |
| 400×600 | 8 | 546 | 0.905 | 5.45 |
| 400×600 | 16 | 546 | 0.438 | 11.25 |
| 800×1200 | 4 | 989 | 9.689 | 4.02 |
| 800×1200 | 8 | 989 | 5.022 | 7.75 |
| 800×1200 | 16 | 989 | 2.906 | 13.40 |
| 800×1200 | 32 | 989 | 2.382 | 16.35 |

4. MPI+OpenMP

| Размер сетки | Число процессов | Число нитей | Число итераций | Время с Openmp и MPI | Время с MPI |
|----------------|-----------------|-------------|----------------|----------------------|-------------|
| 40×40 | 1 | 1 | 60 | 0.0125 | 0.00328 |
| 40×40 | 1 | 4 | 60 | 0.0100 | 0.00186 |
| 40×40 | 2 | 4 | 60 | 0.1204 | 0.00189 |

| Размер сетки | Число процессов | Число нитей | Число итераций | Время решения | Ускорение |
|-------------------|-----------------|-------------|----------------|---------------|-----------|
| 400×600 | 2 | 1 | 546 | 1.911 | 2.58 |
| 400×600 | 2 | 2 | 546 | 1.151 | 4.28 |
| 400×600 | 2 | 4 | 546 | 0.597 | 8.26 |
| 400×600 | 2 | 8 | 546 | 0.313 | 15.75 |
| 800×1200 | 4 | 1 | 989 | 7.636 | 5.10 |
| 800×1200 | 4 | 2 | 989 | 4.205 | 9.26 |
| 800×1200 | 4 | 4 | 989 | 2.138 | 18.21 |
| 800×1200 | 4 | 8 | 989 | 1.103 | 35.30 |

5. Выводы

По результатам численных экспериментов можно сделать следующие выводы.

Во-первых, для небольшой сетки 40×40 выигрыш от распараллеливания ограничен. Как в OpenMP, так и в MPI при увеличении числа нитей/процессов время решения меняется слабо или даже начинает расти, что связано с тем, что накладные расходы на создание нитей, синхронизацию и обмен граничными слоями сопоставимы с собственно вычислениями.

Во-вторых, при переходе к более крупным сеткам 400×600 и 800×1200 параллельные методы демонстрируют устойчивый рост ускорения. В OpenMP при увеличении числа нитей для сетки 800×1200 достигается ускорение порядка 6–7 раз по сравнению с последовательной программой. MPI-реализация на тех же сетках даёт более высокий выигрыш: до ≈ 11 раз для 400×600 и до ≈ 16 раз для 800×1200 при 16–32 процессах. Это показывает, что для задачи с относительно дорогим обменом граничной информацией 2D-разбиение области по MPI хорошо масштабируется при увеличении числа узлов.

В-третьих, гибридный вариант MPI+OpenMP позволяет заметно лучше использовать вычислительные ресурсы каждого узла. Для крупной сетки 800×1200 сочетание разбиения области по MPI и внутрипроцессного распараллеливания по OpenMP даёт ускорение до ≈ 35 раз по сравнению с последовательной версией, что существенно превосходит как чисто MPI-, так и чисто OpenMP-подход. Таким образом, гибридная схема оказывается наиболее эффективной на больших размерах задачи.

Результаты расчётов (этап 4: MPI+CUDA)

Поскольку с декабря время выполнения одной и той же программы на кластере «Полюс» заметно увеличилось, часть экспериментов была повторно проведена для корректного сравнения с Cuda-версией.

Таблица 1: Сравнение времени и ускорения для сетки 400×600 . Здесь P — число задействованных вычислительных единиц: потоков OpenMP (для OMP) или процессов MPI (для MPI и MPI+GPU; в варианте MPI+GPU каждому GPU соответствует один MPI-процесс); T — время решения, $S = T_{\text{seq}}/T$ — ускорение относительно последовательной программы; индексы OMP, MPI, MPI+GPU обозначают соответствующую реализацию.

| p | T_{seq} | T_{OMP} | S_{OMP} | T_{MPI} | S_{MPI} | $T_{\text{MPI+GPU}}$ | $S_{\text{MPI+GPU}}$ |
|-----|------------------|------------------|------------------|------------------|------------------|----------------------|----------------------|
| 1 | 5.81 | 5.91 | - | 5.20 | 1.12 | 1.23 | 4.72 |
| 2 | | 3.11 | 1.87 | 2.70 | 2.15 | 0.69 | 8.42 |
| 4 | | 1.79 | 3.25 | 1.53 | 3.80 | 0.37 | 15.7 |

Таблица 2: Сравнение времени и ускорения для сетки 800×1200 . Здесь P — число задействованных вычислительных единиц: потоков OpenMP (для OMP) или процессов MPI (для MPI и MPI+GPU; в варианте MPI+GPU каждому GPU соответствует один MPI-процесс); T — время решения, $S = T_{\text{seq}}/T$ — ускорение относительно последовательной программы; индексы OMP, MPI, MPI+GPU обозначают соответствующую реализацию.

| p | T_{seq} | T_{OMP} | S_{OMP} | T_{MPI} | S_{MPI} | $T_{\text{MPI+GPU}}$ | $S_{\text{MPI+GPU}}$ |
|-----|------------------|------------------|------------------|------------------|------------------|----------------------|----------------------|
| 1 | 46.07 | 48.87 | - | 40.82 | 1.13 | 5.16 | 8.93 |
| 2 | | 22.45 | 2.05 | 20.43 | 2.26 | 2.71 | 17.00 |
| 4 | | 12.25 | 3.76 | 17.18 | 2.68 | 1.31 | 35.17 |

Таблица 3: Сравнение времени и ускорения для сетки 1600×2400 . Здесь P — число задействованных вычислительных единиц: потоков OpenMP (для OMP) или процессов MPI (для MPI и MPI+GPU; в варианте MPI+GPU каждому GPU соответствует один MPI-процесс); T — время решения, $S = T_{\text{seq}}/T$ — ускорение относительно последовательной программы; индексы OMP, MPI, MPI+GPU обозначают соответствующую реализацию.

| p | T_{seq} | T_{OMP} | S_{OMP} | T_{MPI} | S_{MPI} | $T_{\text{MPI+GPU}}$ | $S_{\text{MPI+GPU}}$ |
|-----|------------------|------------------|------------------|------------------|------------------|----------------------|----------------------|
| 1 | 365.37 | 320.03 | 1.14 | 294.73 | 1.24 | 28.32 | 12.90 |
| 2 | | 168.13 | 2.17 | 151.63 | 2.41 | 15.04 | 24.29 |
| 4 | | 93.78 | 3.90 | 72.76 | 5.02 | 7.39 | 49.44 |

Таблица 4: Разложение времени для варианта MPI+CUDA на сетке 400×600 . Здесь p — число MPI-процессов (одновременно число задействованных GPU); T_{solver} — суммарное время работы решателя; T_{GPU} — время выполнения вычислительных ядер на GPU; T_{copy} — время копирования данных между host и device; T_{MPI} — затраты на обмен граничными слоями (halo) по MPI; T_{prec} — время, связанное с применением предобуславливателя D^{-1} ; T_{dot} — время вычисления скалярных произведений. Все времена приведены в секундах.

| p | T_{solver} | T_{GPU} | T_{copy} | T_{MPI} | T_{prec} | T_{dot} |
|-----|---------------------|------------------|-------------------|------------------|-------------------|------------------|
| 1 | 1.227 | 0.025 | 0.090 | 0.002 | 0.283 | 0.083 |
| 2 | 0.690 | 0.020 | 0.058 | 0.004 | 0.142 | 0.034 |
| 4 | 0.372 | 0.012 | 0.025 | 0.005 | 0.071 | 0.016 |

Таблица 5: Разложение времени для варианта MPI+CUDA на сетке 800×1200 . Здесь p — число MPI-процессов (одновременно число задействованных GPU); T_{solver} — суммарное время работы решателя; T_{GPU} — время выполнения вычислительных ядер на GPU; T_{copy} — время копирования данных между host и device; T_{MPI} — затраты на обмен граничными слоями (halo) по MPI; T_{prec} — время, связанное с применением предобуславливателя D^{-1} ; T_{dot} — время вычисления скалярных произведений. Все времена приведены в секундах.

| p | T_{solver} | T_{GPU} | T_{copy} | T_{MPI} | T_{prec} | T_{dot} |
|-----|---------------------|------------------|-------------------|------------------|-------------------|------------------|
| 1 | 5.158 | 0.062 | 0.360 | 0.003 | 1.169 | 0.490 |
| 2 | 2.709 | 0.045 | 0.300 | 0.009 | 0.585 | 0.201 |
| 4 | 1.307 | 0.031 | 0.102 | 0.010 | 0.292 | 0.086 |

Таблица 6: Разложение времени для варианта MPI+CUDA на сетке 1600×2400 . Здесь p — число MPI-процессов (одновременно число задействованных GPU); T_{solver} — суммарное время работы решателя; T_{GPU} — время выполнения вычислительных ядер на GPU; T_{copy} — время копирования данных между host и device; T_{MPI} — затраты на обмен граничными слоями (halo) по MPI; T_{prec} — время, связанное с применением предобуславливателя D^{-1} ; T_{dot} — время вычисления скалярных произведений. Все времена приведены в секундах.

| p | T_{solver} | T_{GPU} | T_{copy} | T_{MPI} | T_{prec} | T_{dot} |
|-----|---------------------|------------------|-------------------|------------------|-------------------|------------------|
| 1 | 28.324 | 0.316 | 2.140 | 0.010 | 6.712 | 2.107 |
| 2 | 15.042 | 0.169 | 1.698 | 0.028 | 3.366 | 1.093 |
| 4 | 7.394 | 0.111 | 0.517 | 0.041 | 1.665 | 0.701 |

Анализ полученных ускорений и эффективности

Анализ полученных ускорений и эффективности

Сравнение трёх реализаций (OpenMP, MPI и MPI+CUDA) на разных размерах сетки показывает, что наибольший выигрыш даёт использование GPU в сочетании с MPI. Для сетки 400×600 максимальное ускорение варианта MPI+GPU достигает $S_{\text{MPI+GPU}} \approx 15.7$ при $p = 4$, тогда как OpenMP даёт примерно $S_{\text{OMP}} \approx 3.25$, а чистый MPI — $S_{\text{MPI}} \approx 3.8$. При увеличении размера задачи до 800×1200 ускорение MPI+GPU возрастает до ≈ 35 , а для самой крупной сетки 1600×2400 достигает уже $S_{\text{MPI+GPU}} \approx 49.4$ при тех же четырёх вычислительных устройствах. Таким образом, по мере роста размерности задачи эффективность использования GPU заметно улучшается: затраты на инициализацию и обмены «размываются» на большем числе вычислительных операций, и параллелизм графического ускорителя используется более полно.

Если рассматривать масштабирование по числу процессов p , то для варианта MPI+CUDA наблюдается почти линейное уменьшение времени решения. Так, для сетки 800×1200 время решателя уменьшается с $T_{\text{solver}} \approx 5.16$ с при $p = 1$ до 2.71 с при $p = 2$ и 1.31 с при $p = 4$; для сетки 1600×2400 — с 28.3 с до 15.0 с и далее до 7.39 с. Фактически, удвоение числа процессов почти в два раза сокращает время решения, что говорит о высокой параллельной эффективности схемы разбиения области и обмена граничными слоями. Для CPU-вариантов (OMP и MPI без GPU) ускорение тоже растёт с p , но насыщается гораздо

раньше: при $p = 4$ OpenMP даёт порядка 3.9 раз, а MPI — около 5 раз, что указывает на ограничение уже со стороны пропускной способности памяти и менее выгодного соотношения объёма вычислений к объёму обменов.

Таблицы с разложением времени для варианта MPI+CUDA позволяют увидеть, какие компоненты становятся «узкими местами». Для всех сеток доля времени чистых вычислений на GPU (T_{GPU}) относительно невелика (десятые доли секунды даже для самой крупной сетки), в то время как значительную часть T_{solver} занимают: применение предобуславливателя D^{-1} (T_{prec}), вычисление скалярных произведений (T_{dot}) и копирование данных между host и device (T_{copy}). Например, для сетки 1600×2400 , $p = 4$, при общем времени решателя ≈ 7.39 с на ядра GPU приходится всего ≈ 0.11 с, в то время как суммарно предобуславливатель, пересылки и скалярные произведения занимают порядка трёх секунд. Время MPI-обменов (T_{MPI}) остаётся сравнительно небольшим для всех рассмотренных случаев, что подтверждает корректность выбора 2D-разбиения области и схемы обмена halo-слоями.

Из этих наблюдений следует, что основной резерв дальнейшего ускорения заключается не столько в оптимизации самого матрично-векторного умножения на GPU, сколько в уменьшении объёма копирований host-device и в переносе как можно большей части операций предобуславливателя и редукций (скалярных произведений, норм) полностью на устройство с последующим сокращением числа синхронизаций с CPU. Тем не менее уже реализованная версия MPI+CUDA демонстрирует значительное ускорение по сравнению с последовательным алгоритмом (до $\sim 50\times$ для крупной сетки) и заметно превосходит варианты только с OpenMP или только с MPI по мере увеличения размерности задачи.

Рисунки

1. Рисунок приближенного решения на сетке 800×1200

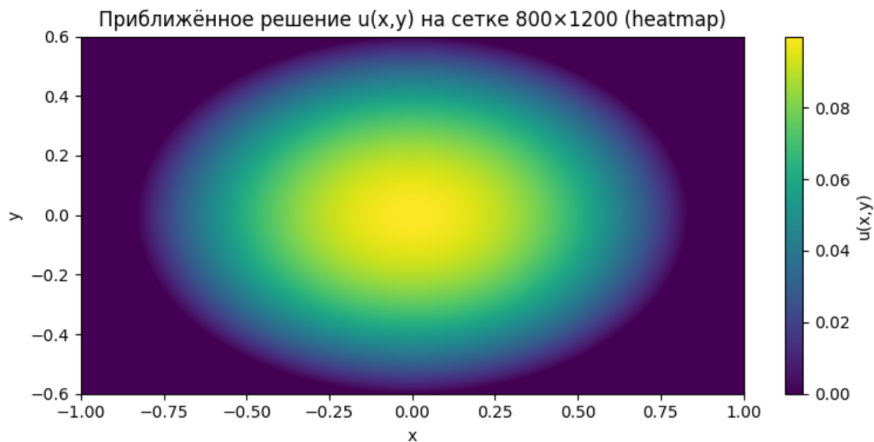


Рис. 1: Приближённое решение на сетке 800×1200 (вид сверху, 2D-представление).

Приближённое решение на сетке 800×1200

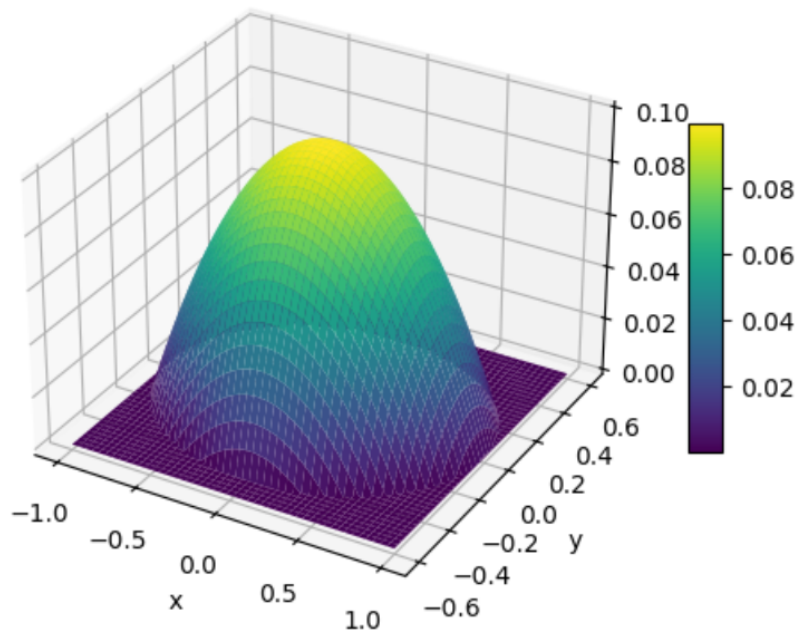


Рис. 2: Приближённое решение на сетке 800×1200 (3D-график).

2. Рисунки ускорений

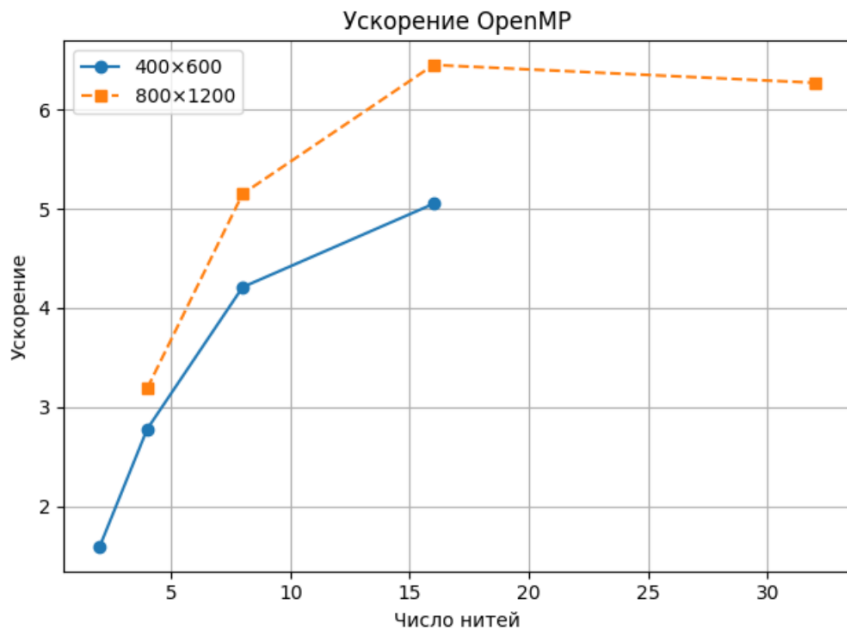


Рис. 3: Ускорение OpenMP-программы для сеток 400×600 и 800×1200 .

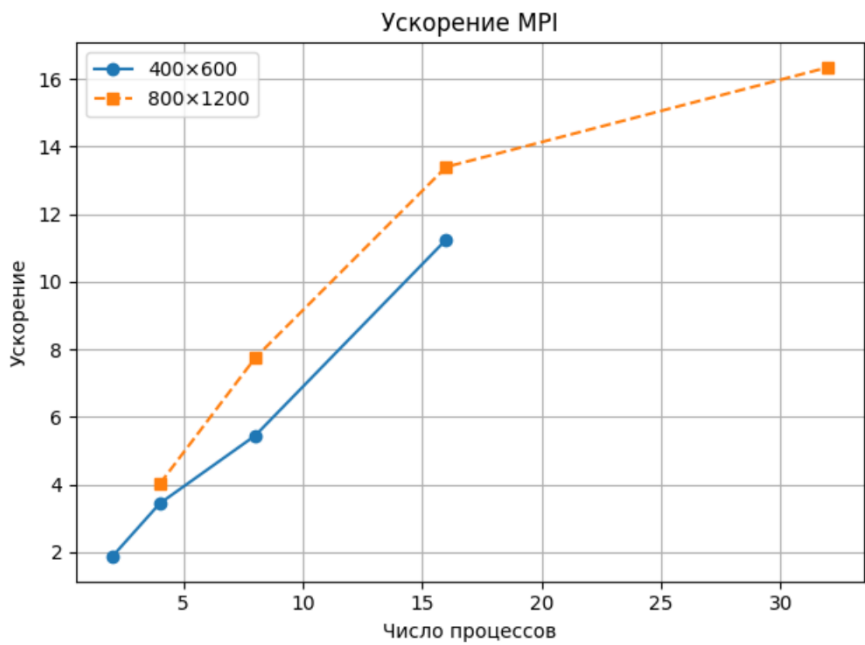


Рис. 4: Ускорение MPI-программы для сеток 400×600 и 800×1200 .

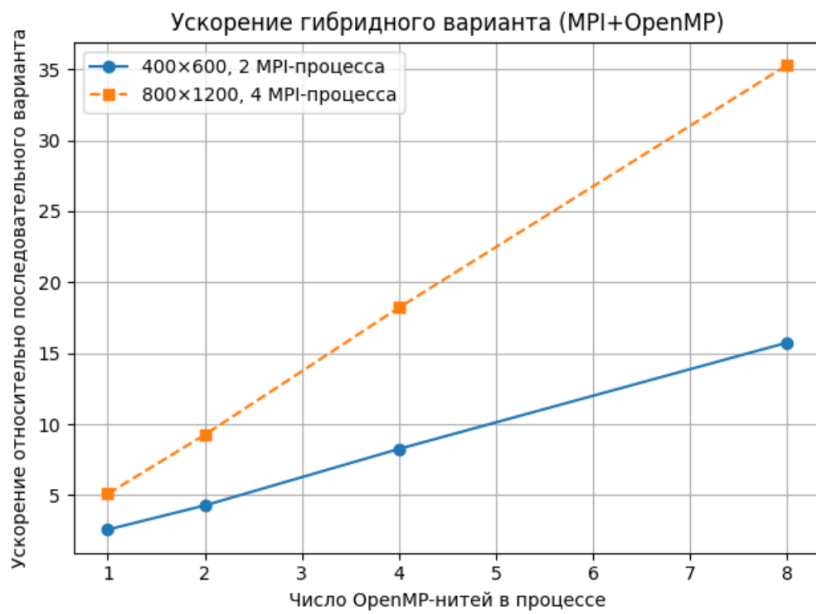


Рис. 5: Ускорение MPI и Openmp-программы для сеток 400×600 и 800×1200 .

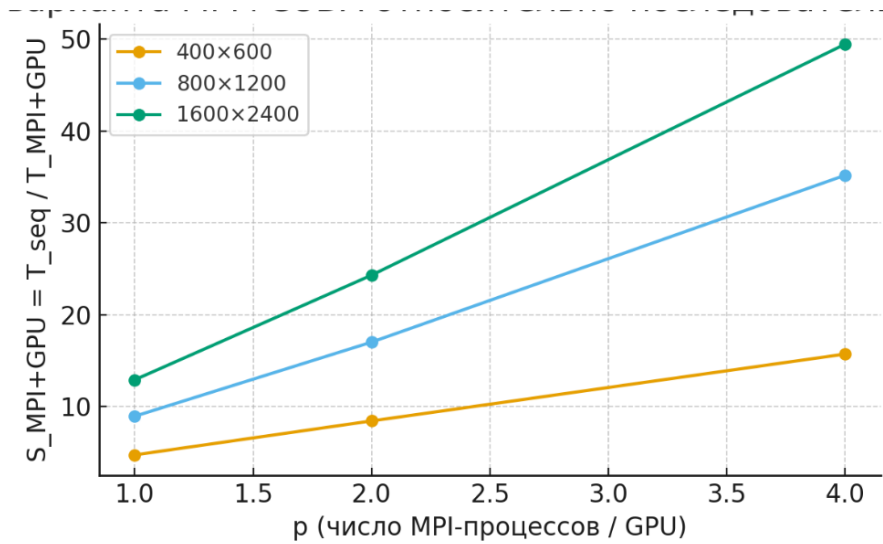


Рис. 6: Ускорение MPI+CUDA для сеток 400×600 , 800×1200 и 1600×2400 .